

**МЕХАНИКА  
ТВЕРДОГО ТЕЛА  
№ 5 • 2000**

УДК 539.214; 539.374

© 2000 г. С.Н. ИВАНЧЕНКО, Ю.И. КАДАШЕВИЧ, С.П. ПОМЫТКИН

**КВАЗИСТАТИСТИЧЕСКАЯ ТЕОРИЯ ПЛАСТИЧНОСТИ,  
УЧИТЫВАЮЩАЯ УПЛОТНЕНИЕ МАТЕРИАЛА**

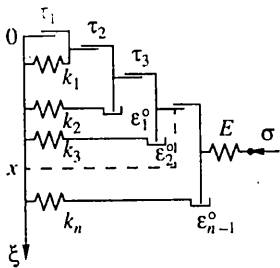
Традиционным объектом изучения механики деформируемого твердого тела являются материалы, плотность которых в процессе деформирования изменяется незначительно, либо вообще не меняется. В данной работе будут рассматриваться материалы, обладающие существенной необратимой сжимаемостью.

**1. Введение.** Диаграмма "напряжение – деформация" для сжимаемых материалов характеризуется замедленным ростом напряжений и, как следствие, направлена выпуклостью вверх при сжатии. Классический путь построения теории пластичности уплотняемых материалов связан с именем Д. Дракера, В.В. Новожилова, В.Н. Николаевского, В. Прагера [1–4]. В нем формулируются две группы соотношений, связывающие девиаторы неупругих деформаций и напряжений и первые инварианты тензоров деформаций и напряжений.

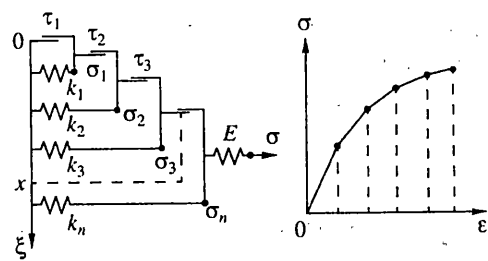
Наиболее удачной попыткой уточнения теории пластичности для неуплотняемых материалов является, на наш взгляд, использование структурных моделей среды [5, 6], в которых поведение твердого тела моделируется поведением упругих и неупругих элементов, которые расположены группами. Локальные законы необратимого деформирования задаются в наиболее простом виде, и важную роль играет условие их взаимодействия. В работе [5] построена достаточно общая теория пластичности статистического типа, которая в качестве основного параметра использует понятие предела текучести. Геометрическая иллюстрация многоэлементных моделей подробно рассмотрена в [7]. Однако указанная теория не может быть непосредственно применена к уплотняемым материалам, в силу специфических свойств их поведения. Поэтому авторы данной публикации предлагают принципиально новую структурную модель лестничного типа, представленную на фиг. 1.

Введение в теорию нового элемента (элемента уплотнения) позволяет описывать значительно более сложную кривую одноосного деформирования. По-видимому, В. Прагер [4] первый привлек внимание к возможности нового элемента среды, который он назвал элементом затвердевания. Однако эта идея не нашла должного понимания, и лишь в работе [8] указывается на целесообразность его использования.

**2. Структурная модель уплотняемого материала.** Рассмотрим модель, которая состоит из элементов сухого трения  $\tau_i$ , упругих элементов  $E_i, K_i$  и элементов уплотнения  $\varepsilon_i^o$ . Элементы, как видно на фиг. 1, соединены параллельно и вступают в движение не одновременно, а последовательно, шаг за шагом. Такого типа модели обычно называют лестничными моделями. Особенность конструирования данной модели состоит в том, что величина пластической деформации элемента подбирается таким образом, чтобы она в точности равнялась деформации, соответствующей элементу уплотнения  $\varepsilon_i^o$ . Иными словами, в определенный момент элемент уплотнения замыкается, и соответствующая ячейка со своими параметрами  $\tau_i$  и  $K_i$  может деформи-



Фиг. 1



Фиг. 2

роваться в любом направлении. Если же элемент уплотнения не замкнут, то модель работает только на траекториях нагружения, производящих уплотнение материала. Отметим, что можно было бы рассмотреть и случаи частичного замыкания и частичного размыкания элементов при обратном нагружении, однако в данной работе эти явления не рассматриваются. Таким образом, при прямом нагружении, если вовлечено  $n$  элементов (фиг. 1), легко получить, что

$$\varepsilon^e = \frac{\sigma}{E}, \quad \varepsilon^p = \frac{\tau_2 - \tau_1}{K_1} + \frac{\tau_3 - \tau_2}{K_2} + \dots + \frac{\sigma - \tau_n}{K_n}$$

где  $\varepsilon^e$  – упругая деформация,  $\varepsilon^p$  – пластическая деформация,  $\sigma$  – напряжение. Предположим теперь, что параметры материала  $\tau, K, \varepsilon^o$  являются случайными величинами и связаны между собой фундаментальной зависимостью. Будем считать, что главным случайнм параметром является предел уплотнения  $\varepsilon^o$ , и его интегральная функция распределения известна, тогда можно записать, что  $\xi = \Phi(\varepsilon^o)$  и считать, что  $K$  и  $\tau$  являются функциями  $\xi$ . После этого легко получить следующие одномерные зависимости при монотонном нагружении:

$$\varepsilon = \varepsilon^e + \varepsilon^p, \quad \varepsilon^e = \sigma/E$$

$$\varepsilon^p = \int_0^x \frac{d\tau}{d\xi} \frac{1}{K(\xi)} d\xi, \quad \sigma = \tau(x)$$

Здесь  $x$  определяет количество элементов, вступивших в течение.

Сразу отметим, что при разгрузке и последующем повторном нагружении модель с элементами уплотнения переходит в модель, переворачивающую диаграмму деформирования и реализующую принцип "толкания" элементов, указанный фактически А.А. Ржаницыным [9] для лестничных моделей. Некоторые сведения о лестничных моделях приведены в работе [10].

При обратном нагружении поведение предложенной лестничной модели изменяется. Произошло замыкание ряда элементов. Рассмотрим поведение модели (фиг. 2) в этом случае. Пусть вовлечено в течение  $i$  элементов, тогда имеет место следующие равенства.

$$\sigma = \tau_i + \varepsilon^p \sum_{j=i}^n K_j, \quad \tau_{i+1} - \tau_i = \varepsilon^p K_i$$

Если же перейти к непрерывной модели, то легко получить следующую группу определяющих соотношений

$$\sigma = \tau(x) + \varepsilon^p \int_x^{x_0} K(\xi) d\xi, \quad \frac{d\tau}{d\xi} = \varepsilon^p K(\xi) |_{\xi=x}$$

$$\varepsilon = \varepsilon^e + \varepsilon^p, \quad \varepsilon^e = \sigma/E, \quad 0 \leq x \leq x_0, \quad 0 \leq \xi \leq 1$$

где  $x_0$  – значение параметра  $x$ , отвечающее концу первого этапа нагружения.

Таким образом, предложенная структурная модель лестничного типа позволяет описать диаграмму деформирования уплотняемого материала, обращенной выпуклостью вверх по отношению к оси деформирования. Подчеркнем, что элемент уплотнения, введенный в теорию, позволяет регулировать законы деформирования при прямом и обратном нагружении. Интересно, что ступенчатое включение элементарных ячеек в движение позволяет легко переходить к непрерывным моделям и экспериментально выявлять статистические параметры модели.

**3. Одноповерхностные теории течения, учитывающие уплотнение.** Выделим класс теорий пластического течения, учитывающих уплотнение материала, которые фактически были приняты во внимание при построении новой модели. Поверхность текучести в этих теориях уточняла критерий текучести Мизеса следующим образом

$$\sigma_i + \beta\sigma_0 = \sqrt{2}\sigma_T \quad [1] \quad (3.1)$$

$$T_i + \beta\sigma_0 + \sqrt{2}\sigma_T \quad [2]$$

$$T_i + \beta T_0 = \sqrt{2}\sigma_T \quad [11]$$

$$\sigma_i^2 + \beta\sigma_0^2 = 2\sigma_T^2 \quad [12]$$

$$T_i + \beta(\rho_i)\sigma_0 = \sqrt{2}\sigma_T \quad [13]$$

Здесь  $\sigma'_{ij}$  – девиатор тензора действующих напряжений  $\sigma_{ij}$ ,  $\sigma_T = \text{const}$  – предел текучести (при  $\beta = 0$ ),  $\beta$  – константа материала,  $\sigma_i = \sqrt{\sigma'_{ij}\sigma'_{ij}}$  – интенсивность действующих напряжений,  $\rho'_{ij}$  – девиатор тензора микронапряжений  $\rho_{ij}$ ,  $\tau'_{ij} = \sigma'_{ij} - \rho'_{ij}$  – девиатор тензора активных напряжений  $\tau_{ij}$ ,  $\tau_i = \sqrt{\tau'_{ij}\tau'_{ij}}$  – интенсивность активных напряжений,

$$\sigma_0 = \frac{1}{3}\sigma_{ij}\delta_{ij}, \quad \rho_0 = \frac{1}{3}\rho_{ij}\delta_{ij}$$

$$\tau_0 = \frac{1}{3}\tau_{ij}\delta_{ij}, \quad \varepsilon_0^p = \frac{1}{3}\varepsilon_{ij}^p\delta_{ij}$$

причем

$$\rho'_{ij} = K_1\varepsilon_{ij}^{p'}, \quad \rho_0 = K_2\varepsilon_0^p$$

Авторы данной публикации приняли за основу дальнейшего исследования вариант теории пластичности в форме, предложенной в работе [11], когда локальный закон течения выражается формулами

$$d\varepsilon_{ij}^{p'} = \frac{\tau'_{ij}}{\tau_i} d\lambda, \quad d\varepsilon_0^p = \beta d\lambda \quad (3.2)$$

Этот вариант наиболее удачно описывает влияние микронапряжений при циклических нагрузлениях.

**4. Формулировка статистической теории неупругости, учитывающей уплотнение.** Рассматривается первоначально изотропный материал, подчиняющийся критерию (3.1). Законы локального пластического течения имеют вид (3.2). За главный случайный параметр теории принимаем локальный предел уплотнения  $\varepsilon^0$ . Если считать известной интегральную функцию распределения  $\Phi(\varepsilon^0) = \xi$ , тогда

$$\langle \varepsilon_{ij}^p \rangle = \int_0^1 \varepsilon_{ij}^p(\xi) d\xi, \quad \langle \sigma_{ij} \rangle = \int_0^1 \sigma_{ij}(\xi) d\xi$$

где  $\langle \cdot \rangle$  – знак осреднения.

Кроме того, справедливы соотношения

$$\frac{\partial \tau'_{ij}}{\partial \xi} = K_1(\xi) \varepsilon'_{ij}, \quad \frac{\partial \tau_0}{\partial \xi} = K_2(\xi) \varepsilon_0^p$$

Подчеркнем важность граничного условия, состоящего в том, что при  $\xi = x$  пластические деформации равны 0 при монотонном нагружении или не изменяются при циклическом нагружении. Естественно, что в зависимости от материала вид функции распределения  $\Phi(\varepsilon^0)$  может оказаться различным. Одним из авторов данной публикации на специальной экспериментальной установке [14] проводились опыты на трехосное нагружение с уплотняющимися асфальто-бетонными смесями. Установлено<sup>1</sup>, что функция распределения имеет вид

$$\Phi(x) = 1 - \left[ \frac{1}{1 + x / M(x)} \right]^2$$

**5. Идентификация параметров теории уплотнения.** Параметры теории определяются из опытов на пропорциональное нагружение:

$$\sigma_2 = \sigma_3 > \sigma_1, \quad \sigma_2 = \sigma_3 = \alpha \sigma_1, \quad 0 \leq \alpha \leq 1$$

Выбираются два значения параметра  $\alpha$  и находятся зависимости  $\sigma_1 = \varphi_1(\varepsilon_1^p)$ ,  $\sigma_1 = \varphi_2(\varepsilon_1^p)$ , отвечающие значениям  $\alpha = \alpha_1$  и  $\alpha = \alpha_2$ , что позволит определить характер зависимостей  $\beta$ ,  $\sigma_T$ ,  $M = 3K_1 + \beta^2 K_2$  от  $\xi$ . Это становится очевидным, если учесть, что при нагружении справедливы соотношения

$$\varepsilon_0^p = \frac{\sqrt{2}\sigma_T + [-\sqrt{2/3}(1-\alpha) + \sqrt{2/3}\beta(1+2\alpha)\sigma_1]}{3K_1 + \beta^2 K_2} 3\beta$$

$$\varepsilon_0^p = \frac{3\beta}{\beta - \sqrt{6}} \varepsilon_1^p$$

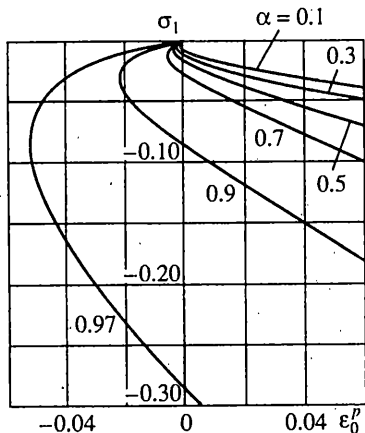
**6. Сопоставление экспериментальных данных с теоретическими результатами.** Была проведена серия экспериментов в условиях трехосного осесимметричного сжатия. Опыты проводились на сплошных круглых образцах (диаметр 50–100 мм) из песчаных асфальтобетонных смесей ( $55 \leq E \leq 95$  МПа,  $v \approx 0,24$ ) при  $60^\circ\text{C} \leq T \leq 140^\circ\text{C}$  по схеме раздавливания –  $\sigma_2 = \sigma_3 = \text{const}$ ;  $\sigma_2 > \sigma_1$ . В частности изучались:

- одноосное сжатие –  $\sigma_2 = \sigma_3 > \sigma_1$ ;  $\sigma_2 = \sigma_3 = 0$ ;
- пропорциональное нагружение –  $\sigma_2 = \sigma_3 > \sigma_1$ ;  $-\sigma_3 = \alpha \sigma_1$ ;
- всестороннее равномерное сжатие –  $\sigma_1 = \sigma_2 = \sigma_3$ ;
- компрессионное сжатие (сжатие без бокового расширения) –  $\sigma_2 = \sigma_3 > \sigma_1$ ;  $\varepsilon_2 = \varepsilon_3 = 0$ ;
- опыты на сдвиг –  $\sigma_1 = -\sigma_3$ ;  $\sigma_2 = 0$ ;

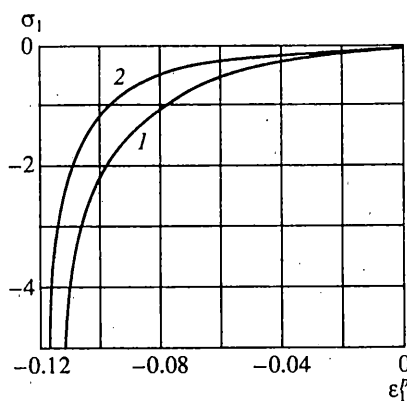
На фиг. 3–5 приведены графики объемного деформирования при простом пропорциональном нагружении, деформирования в условиях компрессионного сжатия и сдвиг (1 – эксперимент; 2 – расчет, напряжения в МПа). Экспериментальные данные дают погрешность не более 20% и на фиг. 3 сознательно не приведены во избежание загромождения рисунка.

В исследованиях на сложное циклическое нагружение после предварительного деформирования материала силой в направлении  $\sigma_1$  осуществлялась смена направления деформирования и нагружение осуществлялось в направлении  $\sigma_3$ . При этом боковая пластическая деформация,  $\varepsilon_3^p$ , приобретенная на первом этапе нагружения, жестко

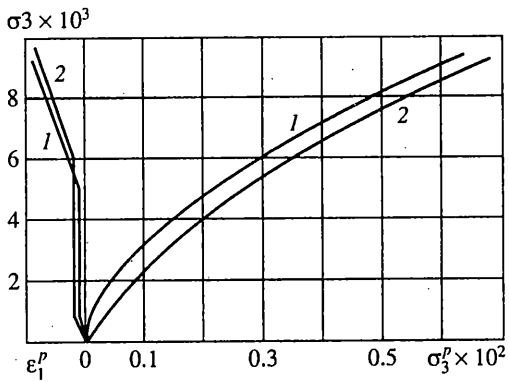
<sup>1</sup> Иванченко С.Н. Научные основы формирования рабочих органов дорожных машин для уплотнения асфальтобетонных смесей: Автореф. на соискание д.т.н. СПб, 1997. 34 с.



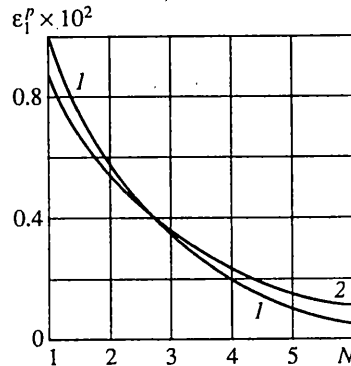
Фиг. 3



Фиг. 4



Фиг. 5



Фиг. 6

устремляется к нулю, реализуя, таким образом, боковое обжатие материалов. Затем действием деформации  $\epsilon_3$  производится разгрузка материала, а контроль осуществляется за полной и пластической осевыми деформациями  $\epsilon_1$  и  $\epsilon_1^p$ . Далее процесс "сжатие – боковое обжатие" полностью повторяется. На фиг. 6 представлена экспериментальная (1) и теоретическая (2) кривые изменения осевой пластической деформации  $\epsilon_1^p$  от числа циклов нагружения  $N$  (различие не превышает 20%).

Работа выполнена при поддержке Российского фонда фундаментальных исследований (грант 97-01-01169).

#### СПИСОК ЛИТЕРАТУРЫ

1. Drucker D.C., Prager W. Soil mechanics and plastic analysis or limit design // Quart. Appl. Math. 1952. V. 10. № 2. P. 157–165.
2. Новожилов В.В. О пластическом разрыхлении // ПММ. 1965. Т. 29. Вып. 4. С. 681–689.
3. Николаевский В.Н. Механические свойства грунтов и теория пластичности // Итоги науки и техники. Сер. Механика деформируемых тел. М.: ВИНИТИ, 1972. Т. 6. 86 с.
4. Прагер В. Об идеально затвердевающих материалах // Механика. Период. сб. перев. иностр. статей. 1958. № 3. С. 99–103.
5. Новожилов В.В., Кадашевич Ю.И. Микронапряжения в конструкционных материалах. Л.: Машиностроение, 1990. 223 с.

6. Бесселинг И. Теория пластического течения начально изотропного материала, который анизотропно упрочняется при пластических деформациях // Механика. Период. сб. перев. иностр. статей. 1961. № 2. С. 124–168.
7. Иванченко С.Н., Кадашевич Ю.И., Помыткин С.П. Принципы геометрического представления многоэлементных структурных моделей // Исследования по механике строительных конструкций и материалов. СПб: СПбГАСУ, 1997. С. 56–62.
8. Sobotka Z. Reology of materials and engineering structures. Prague. Academia. 1984. 548p.
9. Ржаницын А.Р. Теория ползучести. М.: Стройиздат, 1968. 461 с.
10. Кадашевич Ю.И., Помыткин С.П. О реологических моделях неупругости конструкционных материалов // Машины и аппараты целлюлозно-бумажного производства. СПб: СПбГГТУРП, 1994. С. 3–5.
11. Кадашевич Ю.И. Теория пластичности, учитывающая эффект Баушингера и влияние среднего нормального напряжения на границу текучести // Тр. ЛТИ ЦБП. 1965. Вып. 18. С. 234–235.
12. Green R.J. A Plasticity theory for porous solids // Intern. J. Mech. Sci. 1972. V. 14. № 4. P. 215–224.
13. Кадашевич Ю.И., Новожилов В.В., Рыбакина О.Г. Разрыхление и перспективы построения критерия прочности при сложном нагружении с учетом ползучести // Изв. АН СССР. МТТ. 1986. № 5. С. 108–114.
14. Иванченко С.Н. Релаксация напряжений в асфальтобетонных смесях при их уплотнении // Исследования и испытание строительных машин и оборудования. Хабаровск: Изд-во Хабар. гос. техн. ун-та, 1993. С. 101–110.

Хабаровск, С.-Петербург

Поступила в редакцию  
27.07.1999